

К. т. н. А. Г. СОРОЧАН

Украина, г. Донецк, НИИ комплексной автоматизации  
E-mail: niika@dn.farlep.net

Дата поступления в редакцию  
28.01 2004 г.

Оппонент к. т. н. В. В. ДАНИЛОВ  
(ДонНУ, г. Донецк)

## ПРИЕМНИК ИМПУЛЬСНОЙ РАДИОЛОКАЦИОННОЙ СТАНЦИИ С МОДУЛЯЦИОННОЙ ОБРАБОТКОЙ СИГНАЛА

*Проводится статистический анализ приемника обнаружения сигнала зондирования, обеспечивающего выходное отношение сигнал/шум, стремящееся к бесконечности.*

Дальность действия является одной из важнейших характеристик большинства радиосистем. В импульсных радиолокационных станциях (РЛС) дальность до цели  $D$  определяется по времени запаздывания отраженного целью сигнала относительно излученного  $\tau_D = 2D/c$ , где  $c$  — скорость распространения радиоволны в пространстве. Максимальная дальность действия радиолокационной станции определена основным уравнением радиолокации [1 с. 356]

$$D_{\text{макс}} = 4 \sqrt{\frac{P_n G A \sigma_c}{64 \pi^3 P_{\text{пр.мин}}}}$$

где  $P_n$  — мощность передатчика;  
 $G$  — коэффициент усиления антенны;  
 $A$  — эффективная площадь приемной антенны;  
 $\sigma_c$  — эффективная отражающая поверхность цели;  
 $P_{\text{пр.мин}}$  — значение пороговой мощности приемника.

Из приведенного выражения следует, что повышение дальности действия импульсной РЛС, с точки зрения технической реализации, целесообразнее вести по пути снижения пороговой мощности приемника, которая ограничивается внутренними шумами.

Цель настоящей работы — поиск эффективного способа повышения чувствительности радиоприемников обнаружения сигнала зондирования в РЛС.

Структурная схема предлагаемого приемника приведена на **рис. 1**, где Ан. — антенна, X1 и X2 — первый и второй перемножители, ПФ1—ПФ4 — полосовые фильтры,  $\Sigma$  — сумматор, УГ — управляемый напряжением генератор (модулятор), РПФ —

режекторно-полосовой фильтр, СМ — смеситель, Г — гетеродин, ЛЗ — линия задержки, СД — синхронный детектор, УЦО — устройство цифровой обработки.

Проведем статистический анализ линейного тракта приемника обнаружения и рассмотрим особенности обработки сигнала в нем.

Сигнал передатчика импульсной РЛС представляет собой пакет длительностью  $\theta$  (одиночный или периодический), состоящий из последовательности радиоимпульсов длительностью  $\tau$  и периодом  $T$ , причем  $\tau = 0,25T$ . Несущая частота каждого радиоимпульса модулирована по частоте или фазе и изменяется скачком от импульса к импульсу в некотором диапазоне частот  $\Delta W$  по псевдослучайному закону (**рис. 2, а**).

Входной сигнал приемника на интервале его действия можно представить выражением

$$S(t) = A(t) \cos[W_{\text{н}} t + \pi \gamma(t)],$$

где  $t$  — текущее время;

$A(t)$  — огибающая пакета видеоимпульсов длительностью  $\tau$  и периодом  $T$ ;

$W_{\text{н}}$  — несущая частота радиоимпульсов;

$\pi$  — радианная мера угла;

$\gamma(t)$  — модулирующая функция, случайная цифровая последовательность 1 и 0.

Выходное состояние линейного тракта приемника можно представить в виде

$$U(t) = \begin{cases} S_1(t) + n(t) & \text{— в случае, когда есть сигнал;} \\ n(t) & \text{— сигнал отсутствует,} \end{cases}$$

где  $S_1(t)$  — выходной сигнал линейного тракта, преобразованный по частоте;

$n(t)$  — случайный шумовой процесс с нормальным законом распределения и корреляционной функцией вида  $R_{\text{ш}}(z) = \sigma_{\text{ш}}^2 \rho(z)$ ;

$z$  — величина временного сдвига сигнала;

$\sigma_{\text{ш}}^2$  — дисперсия шумового процесса;

$\rho(z) = \sin(\Delta W z) / \Delta W z$  — коэффициент корреляции.

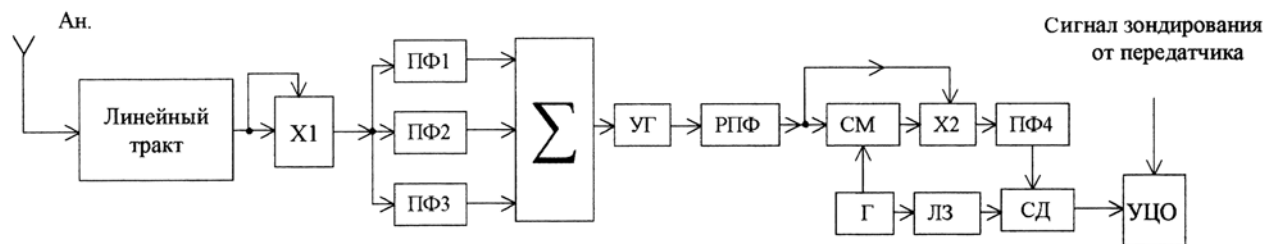


Рис. 1

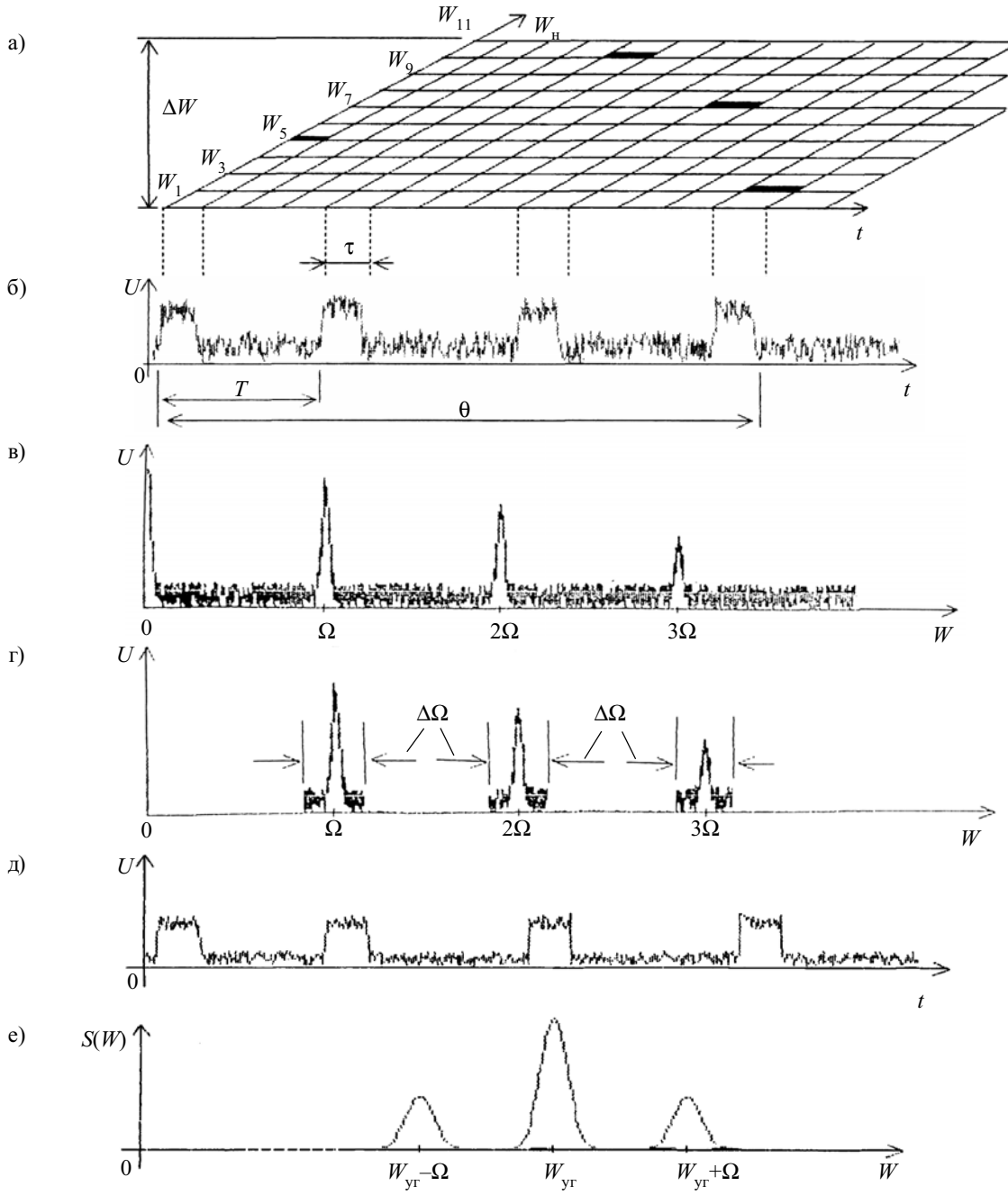


Рис. 2

Результат детектирования сигнала корреляционным детектором X1 запишется в виде

$$U_d(t) = \begin{cases} A^2(t) + S_1(t)n(t) + n_1(t) & \text{— в случае, когда} \\ & \text{есть сигнал;} \\ n^2(t) & \text{— сигнал отсутствует.} \end{cases}$$

Сумма  $S_1(t)n(t) + n_1(t)$  — некоторый шумовой процесс. Учитывая то, что решение поставленной задачи будет проводиться при условии малого уровня входного сигнала  $S(t)$ , слагаемое  $S_1(t)n(t) + n_1(t)$  можно исключить, тогда  $n_1(t) = n^2(t)$ .

Огибающая спектра сигнала  $A^2(t)$  (рис. 2, б) и ее спектральные составляющие (рис. 2, в) на временном отрезке действия описываются выражением [2, с. 39]

$$A^2(t) = \frac{E_0^2 \tau}{T} \left[ 1 + 2 \sum_{q=1}^{\infty} \frac{\sin 0,5q\Omega\tau}{0,5q\Omega\tau} \cos q\Omega t \right],$$

где  $E_0^2$  — амплитуда сигнала;  
 $q$  — порядковый номер гармонической составляющей спектра;  
 $\Omega = 2\pi/T$ .

Корреляционная функция шума  $n^2(t)$  определяется выражением  $R_{\text{шн}}(z) = \sigma_{\text{ш}}^4 \rho^2(z)$  и связана с корреляционной функцией шума на его входе квадратичной зависимостью. Это означает, что составляющая шума имеет ширину спектра вдвое большую исходной, т. е.  $2\Delta W$ . Такой шумовой процесс является белым с равномерным распределением спектра, однако не является нормальным [3, с. 87].

Из периодической последовательности импульсов  $A^2(t)$  фильтрами ПФ1, ПФ2, ПФ3 с центральными ча-

стотами  $\Omega$ ,  $2\Omega$ ,  $3\Omega$  и полосами пропускания  $\Delta\Omega$  выделяются напряжения (рис. 2, з)

$$U_{c1}(t) = 2 \frac{E_0^2 \tau}{T} \frac{\sin(0,5\Omega\tau)}{0,5\Omega\tau} \cos(\Omega t) + n_{11}(t);$$

$$U_{c2}(t) = 2 \frac{E_0^2 \tau}{T} \frac{\sin(\Omega\tau)}{\Omega\tau} \cos(2\Omega t) + n_{12}(t);$$

$$U_{c3}(t) = 2 \frac{E_0^2 \tau}{T} \frac{\sin(1,5\Omega\tau)}{1,5\Omega\tau} \cos(3\Omega t) + n_{13}(t),$$

где  $n_{11}(t)$ ,  $n_{12}(t)$  и  $n_{13}(t)$  — шумовые напряжения.

Шумовые процессы  $n_{1i}(t)$  распределены по нормальному закону (согласно центральной предельной теореме) с корреляционной функцией вида

$$R_{\text{ш}}(z) = \sigma_{\text{ш}}^2 \rho_1(z) = 0,5 \frac{\sigma_{\text{ш}}^4 \Delta\Omega}{\Delta W} \frac{\sin(\Delta\Omega z)}{\Delta\Omega z}, \quad (1)$$

где  $\sigma_{\text{ш}}^2 = 0,5 \frac{\sigma_{\text{ш}}^4 \Delta\Omega}{\Delta W}$  — дисперсия шумового процесса;

$\rho_1(z) = \sin(\Delta\Omega z) / \Delta\Omega z$  — коэффициент корреляции.

Шумовые напряжения при  $U_{c1}(t)$ ,  $U_{c2}(t)$ ,  $U_{c3}(t)$  статистически независимы как шумы, лежащие в непересекающихся полосах частот, с большим интервалом корреляции.

Выходной сигнал сумматора (рис. 2, д)

$$U_{\Sigma}(t) = U_{c1}(t) + U_{c2}(t) + U_{c3}(t) = 2 \frac{E_0^2 \tau}{T} \sum_{q=1}^3 \frac{\sin 0,5q\Omega\tau}{0,5q\Omega\tau} \cos q\Omega t + n_{11}(t) + n_{12}(t) + n_{13}(t)$$

поступает на вход модулятора (УГ), сигнал которого описывается выражением

$$U_{\text{гр}}(t) = U_0 \cos[W_{\text{гр}} t + 2 \sum_{q=1}^3 \beta_q \sin(q\Omega t) + \int_0^t [n_{11}(t) + n_{12}(t) + n_{13}(t)] dt], \quad (2)$$

где  $U_0$  — амплитуда генератора;

$W_{\text{гр}}$  — несущая частота;

$\beta_q$  — парциальный индекс модуляции —

$$\beta_q = \frac{S_y E_0^2 \tau \sin 0,5q\Omega\tau}{Tq\Omega \cdot 0,5q\Omega\tau};$$

$S_y$  — крутизна характеристики управления генератора (рад/с·В).

Интегрированный шумовой процесс нормальный, с нулевым математическим ожиданием [4, с. 169]. В таком случае интегрированный шумовой процесс в (2) удобно представить в виде

$$S_y \int_0^t [n_{11}(t) + n_{12}(t) + n_{13}(t)] dt = \eta_1(t) + \eta_2(t) + \eta_3(t) = \eta(t),$$

где  $\eta_i(t) = S_y \int_0^t n_{1i}(t) dt$ , а  $\eta(t)$  — результирующий шумовой процесс, характеризующий отклонение фазы сигнала УГ.

Дисперсия шумового процесса  $\eta(t)$ , составляющие которого имеют одинаковые уровни мощностей  $\sigma_{\text{ш}i}^2 = \sigma_{\text{ш}1}^2$ , определяется выражением [4]

$$\sigma_{\eta}^2 = 6S_y^2 \sigma_{\text{ш}1}^2 \int_0^z (z-x) \rho_1(x) dx.$$

После подстановки в приведенное выражение коэффициента корреляции  $\rho_1(z)$  из (1) получим

$$\sigma_{\eta}^2 = 3S_y^2 \sigma_{\text{ш}1}^2 \frac{z}{\Delta\Omega} \left[ \text{Si}(\Delta\Omega z) - \frac{\sin^2\left(\frac{\Delta\Omega z}{2}\right)}{\left(\frac{\Delta\Omega z}{2}\right)} \right],$$

где  $\text{Si}(\Delta\Omega z)$  — интегральный синус.

Так как коэффициент корреляции  $\rho_1(z)$  не равен нулю при малых значениях параметра  $\Delta\Omega z$ , то в последнем выражении множитель в квадратных скобках принимает значение  $\approx \frac{\Delta\Omega z}{2}$ . В таком случае дисперсия шумового процесса  $\eta(t)$  запишется в виде

$$\sigma_{\eta}^2 = 0,75S_y^2 \sigma_{\text{ш}}^4 \frac{\Delta\Omega}{\Delta W} z^2. \quad (3)$$

Исходя из вышеизложенного, выражение (2) преобразуем к виду

$$U_{\text{гр}}(t) = U_0 \cos \left[ W_{\text{гр}} t + 2 \sum_{q=1}^3 \beta_q \sin(q\Omega t) + \eta(t) \right].$$

Спектр сигнала  $U_{\text{гр}}(t)$ , выраженный в виде суммы гармонических составляющих с коэффициентами разложения по функциям Бесселя, запишется как

$$U_{\text{гр}}(t) = U_0 \sum_{p,r,m=-\infty}^{\infty} J_p(\beta_1) J_r(\beta_2) J_m(\beta_3) \times \cos[W_{\text{гр}} t + (p\Omega + 2r\Omega + 3m\Omega)t + \eta(t)], \quad (4)$$

где  $J_q(\beta)$  — функция Бесселя  $q$ -го порядка от аргумента  $\beta$ .

Из полученного выражения следует, что спектр сигнала содержит ряд гармонических составляющих, расположенных симметрично относительно несущего колебания на частотах, кратных  $\Omega$ , модулированных по фазе случайным процессом  $\eta(t)$  с нормальным законом распределения, нулевым математическим ожиданием и дисперсией  $\sigma_{\eta}^2$  (3). Так как интервал корреляции модулирующего шумового напряжения большой, то симметричные составляющие в спектре сигнала УГ также коррелированы на широком временном интервале. Уровень боковых составляющих определяется функциями Бесселя, у которых индекс модуляции зависит от амплитуды входного сигнала  $E_0$ . Уменьшение  $E_0$  ведет к уменьшению значений парциальных индексов модуляции  $\beta_q$ , и при  $\beta_q < 0,5$  выходной сигнал УГ будет описываться только функциями Бесселя нулевого и первого порядков. В этом случае выражение (4) преобразуется к виду

$$U_{\text{гр}}(t) = U_0 \sum_{p,r,m=-1}^1 J_p(\beta_1) J_r(\beta_2) J_m(\beta_3) \times \cos[W_{\text{гр}} t + (p\Omega + r2\Omega + m3\Omega)t + \eta(t)].$$

При малых уровнях входного сигнала индексы модуляции  $\beta_q$  малы, причем  $\beta_1 > \beta_2 > \beta_3$ , поэтому вышеприведенное выражение преобразуется к виду

$$U_{\text{гр}}(t) = U_0 \{ J_0(\beta_1) \cos[W_{\text{гр}} t + \eta(t)] + J_1(\beta_1) \times \cos[(W_{\text{гр}} + \Omega)t + \eta(t)] + J_{-1}(\beta_1) \cos[(W_{\text{гр}} - \Omega)t + \eta(t)] \}. \quad (5)$$

Полученный сигнал содержит три спектральных составляющих (рис. 2, e), расположенных на частотах  $W_{\text{yr}} \pm \Omega$  и  $W_{\text{yr}}$ , каждая из которых модулирована по фазе шумовым напряжением с нормальным законом распределения и нулевым математическим ожиданием и имеет большой интервал корреляции.

И наконец, при  $E_0=0$  имеем  $\beta_1=0$ , и выходной спектр сигнала модулятора будет определяться одной составляющей, которая описывается выражением

$$U_{\text{шуг}}(t) = U_0 J_0(\beta_1) \cos[W_{\text{yr}} t + \eta(t)] = U_0 \cos[W_{\text{yr}} t + \eta(t)].$$

Эта составляющая представляет собой гармоническое напряжение, модулированное по фазе случайным

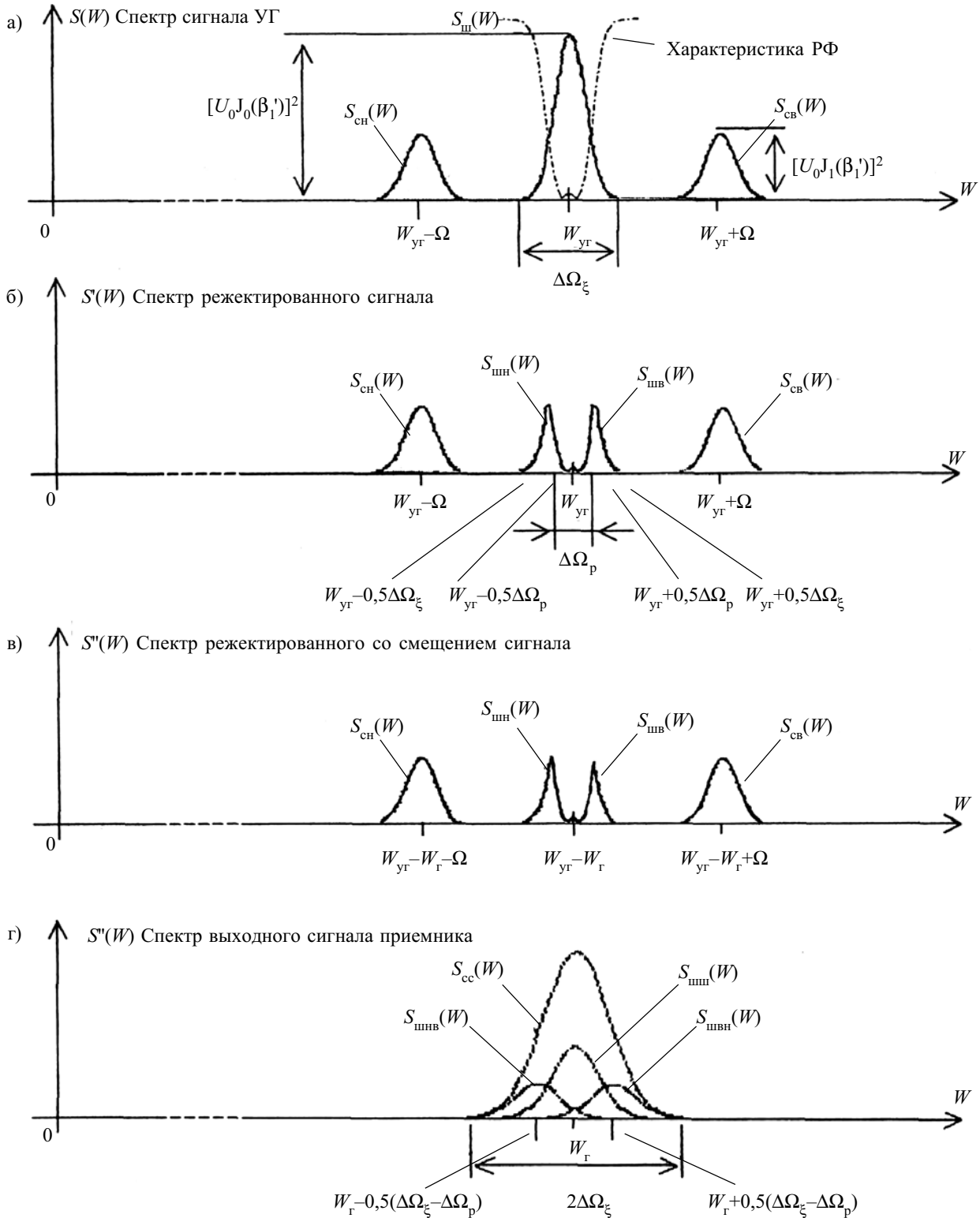


Рис. 3

процессом  $\eta(t)$ , не несет в себе информации о наличии входного сигнала приемника, является паразитной. Для ее подавления вводится режективное.

Для определения вида спектральной составляющей  $U_{шуг}(t)$  найдем ее корреляционную функцию. Для простоты вычислений представим  $U_{шуг}(t)$  в виде

$$U_{шуг}(t) = U_0 J_0(\beta_1) \operatorname{Re} \{ \exp[j(W_{yr} t + j\eta(t))] \},$$

тогда его автокорреляционная функция будет определена равенством

$$R_{ш}(z) = \overline{U_{шуг}(t) U_{шуг}(t-z)} = [U_0 J_0(\beta_1)]^2 \operatorname{Re} \{ \exp[-jW_{yr} z] \exp[j\eta(t) - j\eta(t-z)] \},$$

где черта означает математическое ожидание.

Так как математическое ожидание  $\exp[j\eta(t) - j\eta(t-z)]$  может быть выражено через характеристическую функцию сигнала и его дисперсию  $\sigma_\eta^2$  (3), то искомая корреляционная функция определится в виде

$$R_{ш}(z) = [U_0 J_0(\beta_1)]^2 \cos[W_{yr} z] \exp[-0,75 S_y^2 \sigma_w^4 \frac{\Delta\Omega}{\Delta W} z^2]. \quad (6)$$

Входящее в показатель экспоненты произведение  $0,75 S_y^2 \sigma_w^4 \frac{\Delta\Omega}{\Delta W} = \sigma_w^2$  есть не что иное как значение дисперсии флуктуации частоты сигнала относительно ее среднего значения  $W_r$ , которое определяет эффективную ширину спектра рассматриваемого сигнала как  $\Delta\Omega_\xi = \sqrt{\sigma_w^2}$ .

Спектральная плотность мощности определяется известным равенством

$$S_{ш}(W) = \int_{-\infty}^{\infty} R_{ш}(z) \cos[Wz] dz. \quad (7)$$

Подставляя значение  $R_{ш}(z)$  в (7), находим:

$$S_{ш}(W) = [U_0 J_0(\beta_1)]^2 \int_{-\infty}^{\infty} \cos[(W_{yr} - W)z] \exp[-\sigma_w^2 z^2] dz.$$

Отсюда, используя табличное значение интеграла [5, с. 207], определяем выражение, описывающее спектральную плотность мощности составляющей спектра с частотой  $W_{yr}$

$$S_{ш}(W) = [U_0 J_0(\beta_1)]^2 \sqrt{\frac{\pi}{\sigma_w^2}} \exp\left[-\frac{(W_{yr} - W)^2}{4\sigma_w^2}\right],$$

вид которой показан на рис. 2, е и рис. 3, а.

Проведя аналогичные выкладки, определим спектральные плотности мощности нижней  $S_{сн}(W)$  и верхней  $S_{св}(W)$  боковых составляющих напряжения  $U_{yr}(t)$ :

$$S_{сн}(W) = [U_0 J_1(\beta_1)]^2 \sqrt{\frac{\pi}{\sigma_w^2}} \exp\left[-\frac{(W_{yr} - \Omega - W)^2}{4\sigma_w^2}\right];$$

$$S_{св}(W) = [U_0 J_1(\beta_1)]^2 \sqrt{\frac{\pi}{\sigma_w^2}} \exp\left[-\frac{(W_{yr} + \Omega - W)^2}{4\sigma_w^2}\right].$$

Из полученных формул следует, что огибающие составляющих спектра выходного сигнала УГ имеют колокольную форму (рис. 2, е и рис. 3, а). Эффективная ширина спектра определяется дисперсией  $\sigma_w^2$ .

Спектр сигнала (5), пройдя режекторный фильтр РФ с центральной частотой  $W_{yr}$  и полосой  $\Delta\Omega_p$ , описывается выражением

$$U_p(t) = U_0 \sum_{p=-1}^1 J_p(\beta_1) \cos[(W_{yr} + p\Omega)t + \eta(t)] + U_{шр}(t) = U_c(t) + U_{шр}(t) \text{ при } p \neq 0.$$

Полученный сигнал  $U_p(t)$  определяется двумя слагаемыми: первое —  $U_c(t)$  — сигнальная составляющая, определена действием принимаемого сигнала в приемнике; вторая —  $U_{шр}(t)$  — шумовая составляющая, определена остаточным от режективирования шумовым напряжением.

Составляющая  $U_c(t)$  содержит две боковые с уровнем  $[U_0 J_1(\beta_1)]^2$ , эффективной шириной спектра  $\Delta\Omega_\xi$  и центральными частотами  $W_{yr} - \Omega$  и  $W_{yr} + \Omega$  (рис. 3, а). Шумовая составляющая  $U_{шр}(t)$  также состоит из двух боковых — нижней  $U_{шн}(t)$  и верхней  $U_{шв}(t)$ , которые, в зависимости от полосы режекции  $\Delta\Omega_p$  фильтра РФ, определяются полосой частот: нижняя боковая  $W_{yr} - 0,5\Delta\Omega_\xi$  и  $W_{yr} - 0,5\Delta\Omega_p$  и верхняя  $W_{yr} + 0,5\Delta\Omega_p$  и  $W_{yr} + 0,5\Delta\Omega_p$  (рис. 3, б). Очевидно, что мощности боковых составляющих шума определяются шириной полосы режекции фильтра РФ.

Для формирования сигнала обнаружения в режективированной от шумов полосе частот сигнал  $U_p(t)$  разделяется на две равные части  $U_p'(t) = U_p''(t) = U_p(t)$ , одна из которых  $U_p'(t)$  сносится вниз по частоте на частоту  $W_r$  (рис. 3, в) гетеродина Г, после чего перемножается со второй частью сигнала  $U_p''(t)$ . Из результата перемножения на частоте  $W_r$  выделяется сигнал автокорреляционной свертки

$$U_p'(t) U_p''(t) = U_{сн}'(t) U_{сн}''(t) + U_{св}'(t) U_{св}''(t) + U_{шн}'(t) U_{шн}''(t) + U_{шв}'(t) U_{шн}''(t) + U_{шн}'(t) U_{шн}''(t) + U_{шн}'(t) U_{шв}''(t) + U_{шв}'(t) U_{шн}''(t) + U_{шв}'(t) U_{шв}''(t). \quad (8)$$

Входящие в выражение (8) сигналы — шумовые напряжения. Для их описания воспользуемся методом гармонического анализа, который позволяет представить некоторое шумовое напряжение  $\mu_{ш}(t)$  со спектральной плотностью мощности  $S(W)$  и средней частотой  $W_{cp}$  в виде суммы гармонических составляющих, амплитуда которых постоянна и определяется

равенством  $C_j = \sqrt{2S(W_{cp} + j\delta W)\delta W}$ , а начальная фаза  $\varphi_j$  — случайная и распределена по нормальному закону в интервале  $0-2\pi$ , т. е.

$$\mu_{ш}(t) = \sum_{j=-0,5K}^{0,5K} C_j \cos[(W_{cp} + j\delta W)t + \varphi_j],$$

где  $j$  — порядковый номер составляющей;

$\delta W$  — интервал частот между соседними спектральными составляющими;

$K$  — число спектральных составляющих, на которое может быть разложено напряжение шума;

$W_{cp} + j\delta W$  — частота отдельных спектральных составляющих.

С учетом изложенного сигнальные и шумовые составляющие  $U_{сн}'(t)$ ,  $U_{св}'(t)$  и  $U_{шн}'(t)$ ,  $U_{шв}'(t)$  запишутся в виде

$$U_{сн}'(t) = \sum_{n=-0,5M}^{0,5M} C_{сн} \cos[(W_{yr} - \Omega + n\delta W)t + \eta(t) + \varphi_n];$$

$$C_{нчн}^2 = [U_0 J_1(\beta_1)]^2 \sqrt{\frac{\pi}{\sigma_w^2}} \exp\left[-\frac{(n\delta W)^2}{4\sigma_w^2}\right] \delta W;$$

$$U_{св}'(t) = \sum_{i=-0,5M}^{0,5M} C_{icв} \cos[(W_{гр} + \Omega + i\delta W)t + \eta(t) + \varphi_i];$$

$$C_{icв}^2 = [U_0 J_1(\beta_1)]^2 \sqrt{\frac{\pi}{\sigma_w^2}} \exp\left[-\frac{(i\delta W)^2}{4\sigma_w^2}\right] \delta W;$$

$$U_{шн}'(t) = \sum_{n=-0,5M}^{-0,5L} C_{ншн} \cos[(W_{гр} + n\delta W)t + \eta(t) + \varphi_n];$$

$$C_{ншн}^2 = [U_0 J_0(\beta_1)]^2 \sqrt{\frac{\pi}{\sigma_w^2}} \exp\left[-\frac{(n\delta W)^2}{4\sigma_w^2}\right] \delta W;$$

$$U_{шв}'(t) = \sum_{i=0,5L}^{0,5M} C_{iшв} \cos[(W_{гр} + i\delta W)t + \eta(t) + \varphi_i];$$

$$C_{iшв}^2 = [U_0 J_0(\beta_1)]^2 \sqrt{\frac{\pi}{\sigma_w^2}} \exp\left[-\frac{(i\delta W)^2}{4\sigma_w^2}\right] \delta W,$$

где  $n = 1, 2, 3, \dots, L-1, L, L+1, \dots, M$ ;

$$L = (\Delta\Omega_z - \Delta\Omega_p) / 2\delta W;$$

$$M = \Delta\Omega_z / \delta W;$$

$$i = 1, 2, 3, \dots, L-1, L, L+1, \dots, M;$$

$n$  и  $i$  — нумерация спектральных составляющих нижней и верхней боковых сигнала  $U_p'(t)$ , соответственно.

Составляющие  $U_p''(t)$  имеют аналогичный  $U_p'(t)$  вид и получаются из вышеприведенных выражений заменой  $W_{гр}$  на  $(W_{гр} - W_{гг})$ ,  $n$  на  $n_w$ ,  $i$  на  $i_w$ .

Спектральные и временные функции сигнала связаны линейной зависимостью, поэтому каждой спектральной составляющей с отстройкой от несущей частоты на  $(n - n_w)\delta W$  ставится в соответствие сдвиг  $(n - n_w)\delta z$  на временной оси ( $\delta z$  — временной интервал, соответствующий в спектральной области частотному интервалу  $\delta W$  между соседними спектральными составляющими), определяемый разностью числовых значений спектральных составляющих перемножаемых спектров. Исходя из этого составляющие равенства (8) запишутся в виде

$$U_{сч}'(t)U_{сч}''(t) = 0,5 \sum_{n=-0,5M}^{0,5M} \sum_{n_w=-0,5M}^{0,5M} C_{нчн} C_{n_wсч} \cos[(W_{гр} + (n - n_w)\delta W)t + \eta(t) - \eta_w(t - (n - n_w)\delta z) + \varphi_n - \varphi_{n_w}]; \quad (9)$$

$$U_{св}'(t)U_{св}''(t) = 0,5 \sum_{i=-0,5M}^{0,5M} \sum_{i_w=-0,5M}^{0,5M} C_{icв} C_{i_wсв} \cos[(W_{гр} + (i - i_w)\delta W)t + \eta(t) - \eta_w(t - (i - i_w)\delta z) + \varphi_i - \varphi_{i_w}]; \quad (10)$$

$$U_{шн}'(t)U_{шн}''(t) = 0,5 \sum_{i=0,5L}^{0,5M} \sum_{n_w=-0,5M}^{-0,5L} C_{ншн} C_{n_wшн} \cos[(W_{гр} + (i - n_w)\delta W)t + \eta(t) - \eta_w(t - (i - n_w)\delta z) + \varphi_i - \varphi_{n_w}]; \quad (11)$$

$$U_{шв}'(t)U_{шв}''(t) = 0,5 \sum_{n=-0,5M}^{-0,5L} \sum_{i_w=0,5L}^{0,5M} C_{ншн} C_{i_wшв} \cos[(W_{гр} + (n - i_w)\delta W)t + \eta(t) - \eta_w(t - (n - i_w)\delta z) + \varphi_n - \varphi_{i_w}]; \quad (12)$$

$$U_{шн}'(t)U_{шн}''(t) = 0,5 \sum_{n=-0,5M}^{-0,5L} \sum_{n_w=-0,5M}^{-0,5L} C_{ншн} C_{n_wшн} \cos[(W_{гр} + (n - n_w)\delta W)t + \eta(t) - \eta_w(t - (n - n_w)\delta z) + \varphi_n - \varphi_{n_w}]; \quad (13)$$

$$U_{шв}'(t)U_{шв}''(t) = 0,5 \sum_{i=0,5L}^{0,5M} \sum_{i_w=0,5L}^{0,5M} C_{iшв} C_{i_wшв} \cos[(W_{гр} + (i - i_w)\delta W)t + \eta(t) - \eta_w(t - (i - i_w)\delta z) + \varphi_i - \varphi_{i_w}]; \quad (14)$$

где  $\eta(t) - \eta_w(t - (n - n_w)\delta z)$  — разность шумовых напряжений, смещенных друг относительно друга на интервал времени  $(n - n_w)\delta z$ .

Корреляционная функция  $R_\zeta(z)$  результирующего шумового напряжения

$$\zeta(t, (n - n_w)\delta z) = \eta(t) - \eta_w(t - (n - n_w)\delta z)$$

определяется выражением [4, с. 165]

$$R_\zeta(z) = R_\eta(z, n) - R_{\eta\eta_w}(z, (n - n_w)) - R_{\eta_w\eta}(z, (n_w - n)) + R_{\eta_w}(z, n_w), \quad (15)$$

где  $R_\eta(z, n)$  и  $R_{\eta_w}(z, n_w)$  — корреляционная функция шумовых напряжений  $n(t)$  и  $n_w(t)$ , соответственно, причем  $R_\eta(z, n) = R_{\eta_w}(z, n_w)$ ,  $R_{\eta\eta_w}(z, (n - n_w))$  и  $R_{\eta_w\eta}(z, (n_w - n))$  — взаимно корреляционные функции гармонических составляющих спектров сигналов  $\eta(t)$  и  $\eta_w(t, (n - n_w))$ , которые при одинаковых  $n$  и  $n_w$  равны. Следовательно, исходя из выражения (15), дисперсия шумового процесса  $\zeta(t, (n - n_w)\delta z)$  запишется как

$$\begin{aligned} \sigma_\zeta^2 &= 0,75 S_y^2 \sigma_w^4 \frac{\Delta\Omega}{\Delta W} [2z^2 - \sum_{n=-0,5M}^{0,5M} \sum_{n_w=-0,5M}^{0,5M} (z - (n - n_w)\delta z)^2 - \sum_{n=-0,5M}^{0,5M} \sum_{n_w=-0,5M}^{0,5M} (z + (n - n_w)\delta z)^2] = \\ &= 1,5 S_y^2 \sigma_w^4 \frac{\Delta\Omega}{\Delta W} \sum_{n=-0,5M}^{0,5M} \sum_{n_w=-0,5M}^{0,5M} [(n - n_w)\delta z]^2. \end{aligned}$$

Из полученного выражения следует, что дисперсия модулирующего шумового напряжения возросла вдвое.

В выражениях (9)–(14) объединяем равенства при равных несущих и, суммируя амплитуды составляющих симметричных относительно центральной частоты с одинаковыми  $n$  и  $i$ , получим:

$$\begin{aligned} U_{сч}(t) &= U_{сч}'(t)U_{сч}''(t) + U_{св}'(t)U_{св}''(t) = \\ &= \sum_{n=-0,5M}^{0,5M} \sum_{n_w=-0,5M}^{0,5M} C_{нчн} C_{n_wсч} \cos[(W_{гр} + (n - n_w)\delta W)t + \zeta(t, (n - n_w)\delta z) + \varphi_n - \varphi_{n_w}]; \quad (16) \end{aligned}$$

$$\begin{aligned} U_{шн}(t) &= U_{шн}'(t)U_{шн}''(t) = \\ &= 0,5 \sum_{i=0,5L}^{0,5M} \sum_{n_w=-0,5M}^{-0,5L} C_{ишн} C_{n_wшн} \cos[(W_{гр} + (i - n_w)\delta W)t + \zeta(t, (i - n_w)\delta z) + \varphi_i - \varphi_{n_w}]; \quad (17) \end{aligned}$$

$$\begin{aligned} U_{шв}(t) &= U_{шв}'(t)U_{шв}''(t) = \\ &= 0,5 \sum_{n=-0,5M}^{-0,5L} \sum_{i_w=0,5L}^{0,5M} C_{ншн} C_{i_wшв} \cos[(W_{гр} + (n - i_w)\delta W)t + \zeta(t, (n - i_w)\delta z) + \varphi_n - \varphi_{i_w}]; \quad (18) \end{aligned}$$

$$U_{\text{шшш}}(t) = U_{\text{шш}}'(t)U_{\text{шш}}''(t) + U_{\text{шш}}'(t)U_{\text{шш}}''(t) = \\ = \sum_{n=-0,5M}^{-0,5L} \sum_{n_w=-0,5M}^{-0,5L} C_{n\text{шш}} C_{n_w\text{шш}} \cos[(W_{\Gamma} + (n - n_w)\delta W)t + \\ + \zeta(t, (n - n_w)\delta z) + \varphi_n - \varphi_{n_w}]. \quad (19)$$

В результате выходное напряжение устройства, выделенное фильтром ПФ4 с полосой пропускания  $2\Delta\Omega_{\xi}$ , определяется равенством

$U_{\text{ввых}}(t) = U_{\text{сввых}}(t) + U_{\text{шввых}}(t) = U_{\text{сш}}(t) + U_{\text{шшв}}(t) + U_{\text{шшш}}(t)$ , которое содержит сигнальную составляющую выходного напряжения  $U_{\text{сввых}}(t) = U_{\text{сш}}(t)$  и шумовую  $U_{\text{шввых}}(t) = U_{\text{шшв}}(t) + U_{\text{шшш}}(t)$ , состоящую из трех слагаемых. Сигнальная составляющая  $U_{\text{сввых}}(t)$  представляет собой радиоимпульс, гармоническое заполнение которого модулировано по частоте шумовым напряжением. Шумовые составляющие  $U_{\text{шшв}}(t)$ ,  $U_{\text{шшш}}(t)$  и  $U_{\text{шшш}}(t)$  также гармонические сигналы, частота которых модулирована шумовым напряжением. Сумма шумовых составляющих формирует выходное шумовое напряжение. Из радиоимпульса синхронным детектированием осуществляется выделение видеоимпульса, положение которого на временной оси ( $\tau_D$ ) относительно излученного сигнала передатчиком импульсной РЛС определяет расстояние  $D$  до цели.

Для определения отношения сигнал/шум на выходе приемника, его чувствительности необходимо определить автокорреляционные функции напряжений (16)–(19), которые представим в виде

$$U_{\text{сш}}(t) = \sum_{n=-0,5M}^{0,5M} \sum_{n_w=-0,5M}^{0,5M} C_{n\text{сш}} C_{n_w\text{сш}} \times \\ \times \text{Re} \left\{ \exp[j(W_{\Gamma} + (n - n_w)\delta W)t] \exp[j\zeta(t, (n - n_w)\delta z)] + \right. \\ \left. + j(\varphi_n - \varphi_{n_w}) \right\};$$

$$U_{\text{шшв}}(t) = 0,5 \sum_{i=0,5L}^{0,5M} \sum_{n_w=-0,5M}^{-0,5L} C_{i\text{шшв}} C_{n_w\text{шшв}} \times \\ \times \text{Re} \left\{ \exp[j(W_{\Gamma} + (i - n_w)\delta W)t] \exp[j\zeta(t, (i - n_w)\delta z)] + \right. \\ \left. + j(\varphi_i - \varphi_{n_w}) \right\};$$

$$U_{\text{шшш}}(t) = 0,5 \sum_{n=-0,5M}^{-0,5L} \sum_{i_w=0,5L}^{0,5M} C_{n\text{шшш}} C_{i_w\text{шшш}} \times \\ \times \text{Re} \left\{ \exp[j(W_{\Gamma} + (n - i_w)\delta W)t] \exp[j\zeta(t, (n - i_w)\delta z)] + \right. \\ \left. + j(\varphi_n - \varphi_{i_w}) \right\};$$

$$U_{\text{шшш}}(t) = \sum_{n=-0,5M}^{-0,5L} \sum_{n_w=-0,5M}^{-0,5L} C_{n\text{шшш}} C_{n_w\text{шшш}} \times \\ \times \text{Re} \left\{ \exp[j(W_{\Gamma} + (n - n_w)\delta W)t] \exp[j\zeta(t, (n - n_w)\delta z)] + \right. \\ \left. + j(\varphi_n - \varphi_{n_w}) \right\};$$

Исходя из этого корреляционные функции сигналов  $U_{\text{сш}}(t)$ ,  $U_{\text{шшв}}(t)$ ,  $U_{\text{шшш}}(t)$  и  $U_{\text{шшш}}(t)$  запишутся в виде

$$R_{\text{сш}}(z) = U_{\text{сш}}(t)U_{\text{сш}}(t-z) = 0,5 \sum_{n=-0,5M}^{0,5M} \sum_{n_w=-0,5M}^{0,5M} C_{n\text{сш}}^2 C_{n_w\text{сш}}^2 \times \\ \times \text{Re} \left[ \exp[j(W_{\Gamma} + (n - n_w)\delta W)z] \times \right. \\ \left. \times \left\{ \exp \left[ \overline{j\zeta(t, (n - n_w)\delta z)} - j\zeta(t - z, (n - n_w)\delta z) \right] \right\} \right];$$

$$R_{\text{шшв}}(z) = U_{\text{шшв}}(t)U_{\text{шшв}}(t-z) = \\ = 0,25 \sum_{i=0,5L}^{0,5M} \sum_{n_w=-0,5M}^{-0,5L} C_{i\text{шшв}}^2 C_{n_w\text{шшв}}^2 \times \\ \times \text{Re} \left[ \exp[j(W_{\Gamma} + (i - n_w)\delta W)z] \times \right. \\ \left. \times \left\{ \exp \left[ \overline{j\zeta(t, (i - n_w)\delta z)} - j\zeta(t - z, (i - n_w)\delta z) \right] \right\} \right];$$

$$R_{\text{шшш}}(z) = U_{\text{шшш}}(t)U_{\text{шшш}}(t-z) = \\ = 0,5 \sum_{n=-0,5M}^{-0,5L} \sum_{i_w=0,5L}^{0,5M} C_{n\text{шшш}}^2 C_{i_w\text{шшш}}^2 \times \\ \times \text{Re} \left[ \exp[j(W_{\Gamma} + (n - n_w)\delta W)z] \times \right. \\ \left. \times \left\{ \exp \left[ \overline{j\zeta(t, (i - n_w)\delta z)} - j\zeta(t - z, (i - n_w)\delta z) \right] \right\} \right];$$

$$R_{\text{шшш}}(z) = U_{\text{шшш}}(t)U_{\text{шшш}}(t-z) = \\ = 0,5 \sum_{n=-0,5M}^{-0,5L} \sum_{n_w=-0,5M}^{-0,5L} C_{n\text{шшш}}^2 C_{n_w\text{шшш}}^2 \times \\ \times \text{Re} \left[ \exp[j(W_{\Gamma} + (n - n_w)\delta W)z] \times \right. \\ \left. \times \left\{ \exp \left[ \overline{j\zeta(t, (n - n_w)\delta z)} - j\zeta(t - z, (n - n_w)\delta z) \right] \right\} \right],$$

где черта означает математическое ожидание.

Выразив математическое ожидание  $\left\{ \exp \left[ \overline{j\zeta(t, (n - n_w)\delta z)} - j\zeta(t - z, (n - n_w)\delta z) \right] \right\}$

через характеристическую функцию сигнала и его дисперсию, определим корреляционные функции в виде

$$R_{\text{сш}}(z) = 0,5 \sum_{n=-0,5M}^{0,5M} \sum_{n_w=-0,5M}^{0,5M} C_{n\text{сш}}^2 C_{n_w\text{сш}}^2 \cos[(W_{\Gamma} + \\ + (n - n_w)\delta W)z] \exp[-1,5S_y^2 \sigma_{\text{ш}}^4 \frac{\Delta\Omega}{\Delta W} \sum_{n=-0,5M}^{0,5M} \times \\ \times \sum_{n_w=-0,5M}^{0,5M} [(n - n_w)\delta z]^2];$$

$$R_{\text{швн}}(z)=0,25 \sum_{i=0,5L}^{0,5M} \sum_{n_w=-0,5M}^{-0,5L} C_{i\text{шв}}^2 C_{n_w\text{шн}}^2 \cos[(W_r + (i-n_w)\delta W)z] \exp[-1,5S_y^2 \sigma_{\text{ш}}^4 \frac{\Delta\Omega}{\Delta W} \sum_{n=-0,5M}^{0,5M} \times \sum_{n_w=-0,5M}^{0,5M} [(i-n_w)\delta z]^2];$$

$$R_{\text{шнв}}(z)=0,25 \sum_{n=-0,5M}^{-0,5L} \sum_{i_w=0,5L}^{0,5M} C_{n\text{шн}}^2 C_{i_w\text{шв}}^2 \cos[(W_r + (n-i_w)\delta W)z] \exp[-1,5S_y^2 \sigma_{\text{ш}}^4 \frac{\Delta\Omega}{\Delta W} \sum_{n=-0,5M}^{0,5M} \times \sum_{n_w=-0,5M}^{0,5M} [(n-i_w)\delta z]^2];$$

$$R_{\text{шнн}}(z)=0,5 \sum_{n=-0,5M}^{-0,5L} \sum_{n_w=-0,5M}^{-0,5L} C_{n\text{шн}}^2 C_{n_w\text{шн}}^2 \cos[(W_r + (n-n_w)\delta W)z] \exp[-1,5S_y^2 \sigma_{\text{ш}}^4 \frac{\Delta\Omega}{\Delta W} \sum_{n=-0,5M}^{0,5M} \times \sum_{n_w=-0,5M}^{0,5M} [(n-n_w)\delta z]^2].$$

Спектры напряжений (16)—(19) определяются в соответствии с равенством (7), при этом подставляя в эти выражения значения  $C_{\text{нс}}^2$  и  $C_{\text{шн}}^2$  и переходя от приращений  $\delta W$  к дифференциалам  $dW$  с учетом, что при малых индексах модуляции  $\beta$  значение  $J_0(\beta) \approx 1$ , получим:

$$S_{\text{cc}}(W)=[U_0 J_1(\beta_1)]^4 \frac{\pi}{\sigma_w^2} \int_{-\infty}^{\infty} \exp\left[-\frac{(n\delta W)^2}{2\sigma_w^2}\right] dW \times \int_{-\infty}^{\infty} \exp\left[-\frac{(n_w\delta W)^2}{2\sigma_w^2}\right] dW'' \times \int_{-\infty}^{\infty} \cos[(W_r - W)z] \exp[-1,5S_y^2 \sigma_{\text{ш}}^4 \frac{\Delta\Omega}{\Delta W} z^2] dz =$$

$$=0,5[U_0 J_1(\beta_1)]^4 \sqrt{\frac{\pi^5}{2\sigma_w^2}} \exp\left[-\frac{(W_r - W)^2}{8\sigma_w^2}\right];$$

$$S_{\text{швн}}(W)=[U_0^2 J_1(\beta_1)]^2 \frac{\pi}{\sigma_w^2} \int_{-\infty}^{\infty} \exp\left[-\frac{(n\delta W)^2}{4\sigma_w^2}\right] dW \times \int_{-\infty}^{\infty} \exp\left[-\frac{(i\delta W)^2}{4\sigma_w^2}\right] dW'' \int_{-\infty}^{\infty} \cos[(W_r + 0,5(\Delta\Omega_p + \Delta\Omega_{\xi}) - W)z] \exp[-1,5S_y^2 \sigma_{\text{ш}}^4 \frac{\Delta\Omega}{\Delta W} z^2] dz = 0,5[U_0^2 J_1(\beta_1')]^2 \times \sqrt{\frac{\pi^3}{2\sigma_w^2}} \Phi_1 \exp\left[-\frac{(W_r + 0,5(\Delta\Omega_p + \Delta\Omega_{\xi}) - W)^2}{8\sigma_w^2}\right];$$

$$S_{\text{шнв}}(W)=[U_0^2 J_1(\beta_1)]^2 \frac{\pi}{\sigma_w^2} \int_{-\infty}^{\infty} \exp\left[-\frac{(n\delta W)^2}{4\sigma_w^2}\right] dW \times \int_{-\infty}^{\infty} \exp\left[-\frac{(i\delta W)^2}{4\sigma_w^2}\right] dW'' \int_{-\infty}^{\infty} \cos[(W_r - 0,5(\Delta\Omega_p + \Delta\Omega_{\xi}) - W)z] \exp[-1,5S_y^2 \sigma_{\text{ш}}^4 \frac{\Delta\Omega}{\Delta W} z^2] dz = 0,5[U_0^2 J_1(\beta_1')]^2 \times \sqrt{\frac{\pi^3}{2\sigma_w^2}} \Phi_1 \exp\left[-\frac{(W_r - 0,5(\Delta\Omega_p + \Delta\Omega_{\xi}) - W)^2}{8\sigma_w^2}\right];$$

$$S_{\text{шнн}}(W)=U_0^4 \frac{\pi}{\sigma_w^2} \int_{-\infty}^{\infty} \exp\left[-\frac{(n\delta W)^2}{2\sigma_w^2}\right] dW \times \int_{-\infty}^{\infty} \exp\left[-\frac{(n_w\delta W)^2}{2\sigma_w^2}\right] dW'' \int_{-\infty}^{\infty} \cos[(W_r - W)z] \exp[-1,5S_y^2 \sigma_{\text{ш}}^4 \frac{\Delta\Omega}{\Delta W} z^2] dz =$$

$$=0,5U_0^4 \sqrt{\frac{\pi^5}{2\sigma_w^2}} [\Phi_1]^2 \exp\left[-\frac{(W_r - W)^2}{8\sigma_w^2}\right],$$

где  $\Phi_1 = \left[ \Phi\left(\frac{0,5\Delta\Omega_{\xi}}{\sqrt{2\sigma_w^2}}\right) - \Phi\left(\frac{0,5\Delta\Omega_p}{\sqrt{2\sigma_w^2}}\right) \right]$ ;  
 $\Phi(x) = \sqrt{\frac{2}{\pi}} \int_0^x \exp\left[-\frac{\mu^2}{2}\right] d\mu$  — интеграл вероятности.

Из полученных выражений следует, что составляющие спектральной плотности мощности выходного сигнала — шумовые, имеют колокольную форму. Составляющие  $S_{\text{cc}}(W)$  и  $S_{\text{шнн}}(W)$  расположены на центральной частоте  $W_r$ , а составляющие  $S_{\text{швн}}(W)$  и  $S_{\text{шнв}}(W)$  — соответственно на частотах  $W_r + 0,5(\Delta\Omega_p + \Delta\Omega_{\xi})$  и  $W_r - 0,5(\Delta\Omega_p + \Delta\Omega_{\xi})$  (рис. 3, з). Эффективная ширина спектра всех составляющих определяется дисперсией шумового напряжения модулирующего генератора УГ. Поскольку мощность шумового напряжения на входе генератора УГ мала, то следует полагать эффективную ширину спектральных составляющих в сигнале на выходе перемножителя X2 также малой, при которой эти спектральные составляющие не перекрываются.

Мощность выходных составляющих определяется полосой фильтра ПФ4. Очевидно, что полоса фильтра ПФ4 не должна превышать значения  $\Delta\Omega_{\xi}$ , тогда мощности выходных составляющих при полосе фильтра ПФ4  $\Delta\Omega_{\text{пф}}$ , равной  $\Delta\Omega_{\xi}$ , определяются равенствами

$$P_{\text{cc}}=0,25\pi^3[U_0 J_1(\beta_1)]^4;$$

$$P_{\text{швн}}=P_{\text{шнв}}=0,25\pi^3[U_0^2 J_1(\beta_1)]^2 \Phi_1;$$

$$P_{\text{шнн}}=0,25\pi^3 U_0^4 \Phi_1^2.$$



Отношение сигнал/шум на выходе приемника обнаружения запишется в виде

$$N = \frac{P_{сс}}{P_{шш} + 2P_{шнв}} = \frac{J_1^4(\beta_1)}{\Phi_1[\Phi_1 + 2J_1^2(\beta_1)]}$$

Наибольший интерес представляет случай, когда уровень сигнала на входе приемника обнаружения мал, т. е. при  $\Phi_1 \ll J_1^2(\beta_1)$ . В таком случае  $J_1(\beta_1) = 0,5\beta_1$ , а выходное отношение сигнал/шум запишется в виде

$$N = \frac{J_1^2(\beta_1)}{\Phi_1} = \frac{1}{\Phi_1} \left[ \frac{S_y E_0^2 \tau \sin(0,5\Omega\tau)}{T\Omega} \right]^2 \quad (20)$$

Поскольку значение интеграла вероятности  $\Phi_1$  определяется разностью эффективной полосы спектральной составляющей шума  $\Delta\Omega_\xi$  и полосы режекторного фильтра  $\Delta\Omega_p$ , то при выборе  $\Delta\Omega_p = \Delta\Omega_\xi$  интеграл вероятности  $\Phi_1 = 0$ , следовательно, выходное отношение сигнал/шум стремится к бесконечности.

При цифровой обработке сигнала для выделения достоверной информации о сигнале необходимо обеспечить выходное отношение сигнал/шум порядка 10 дБ. Тогда из выражения (20) чувствительность  $E_{0min}$  приемника обнаружения определится в виде

$$E_{0min} = \sqrt{10\Phi_1} \frac{T\Omega}{S_y\tau} \frac{0,5\Omega\tau}{\sin(0,5\Omega\tau)}$$

**Выводы**

Чувствительность приемника РЛС с модуляционной обработкой сигнала определяется скважностью следования входных радиоимпульсов. Повышение отношения сигнал/шум, чувствительности в приемнике достигается увеличением крутизны генератора, управляемого напряжением.

Наиболее эффективным способом повышения выходного отношения сигнал/шум, чувствительности является выбор полосы режекторного фильтра. При равенстве ее эффективной ширине шумовой составляющей спектра выходного сигнала управляемого генератора отношение сигнал/шум на выходе приемника стремится к бесконечности, при этом уровень входного сигнала, на который реагирует приемник обнаружения, стремится к бесконечно малой величине.

**ИСПОЛЬЗОВАННЫЕ ИСТОЧНИКИ**

1. Финкельштейн М. И. Основы радиолокации.— М.: Радио и связь, 1983.
2. Гоноровский И. С. Радиотехнические цепи и сигналы.— М.: Сов. радио, 1977.
3. Филипский Ю. К. Случайные процессы в радиотехнических цепях.— Киев: Вища школа, 1978.
4. Заездный А. Н. Основы расчетов по статистической радиотехнике.— М.: Связь, 1969.
5. Двайт Г. Б. Таблицы интегралов и другие математические формулы.— М.: Наука, 1969.

**ЭФФЕКТИВНЫЕ МАРКЕТИНГОВЫЕ КОММУНИКАЦИИ НА РОССИЙСКОМ РЫНКЕ ЭЛЕКТРОНИКИ**

Поставщики электронных компонентов  
 Поставщики печатных плат  
 Контрактные производители  
 Поставщики измерительного и технологического оборудования

РАЗРАБОТЧИКИ ЭЛЕКТРОННОЙ ТЕХНИКИ  
 МЕНЕДЖЕРЫ ПО СНАБЖЕНИЮ  
 РУКОВОДИТЕЛИ ПРЕДПРИЯТИЙ  
 МАСТЕРА СЕРВИСНЫХ ЦЕНТРОВ  
 РУКОВОДИТЕЛИ СЕРВИСНЫХ ЦЕНТРОВ

ИЗДАТЕЛЬСКИЙ ДОМ ЭЛЕКТРОНИКА

| Индексы по каталогу агентства «Роспечать»                                | Для РФ | Для других государств | Индексы по объединенному каталогу «Пресса России. Российские и зарубежные газеты и журналы» |
|--|--------|-----------------------|---|
| Журнал «ЭЛЕКТРОННЫЕ КОМПОНЕНТЫ» с ежегодником «ЖИВАЯ ЭЛЕКТРОНИКА РОССИИ» | 47298  | 47546                 | 39459   |
| Журнал «РЕМОНТ ЭЛЕКТРОННОЙ ТЕХНИКИ»                                      | 79459  | 72209                 | 39458   |

Адрес издательства: Россия, 109044, Москва, а/я 14  
 Тел.: (095) 741-77-01, факс: (095) 741-77-02  
 E-mail: elecom@ecom.ru www.elcp.ru